

# ОХЛАЖДЕНИЕ ПОТОКА ГАЗА ИЗ ДВУХАТОМНЫХ МОЛЕКУЛ РЕЗОНАНСНЫМ ИЗЛУЧЕНИЕМ

*A. M. Старики*  
(*Москва*)

Возможность охлаждения молекулярного газа из двухатомных дипольных молекул при поглощении резонансного излучения в  $P$ -ветви колебательно-вращательной полосы впервые была рассмотрена в [1]. Уменьшение температуры среды в данном случае обусловлено появлением потока энергии из поступательных степеней свободы молекул в результате  $R - T$ -процессов во вращательные, а затем уже в колебательные. Время существования эффекта при воздействии на неподвижный газ импульсного излучения определяется временем колебательно-поступательной  $V - T$ -релаксации либо временем внутримодового колебательно-колебательного  $V - V$ -обмена [1, 2].

Воздействие на среду, состоящую из двухатомных дипольных молекул и движущуюся с заданной скоростью, непрерывного резонансного излучения, как будет показано ниже, может также приводить к изменению поступательной температуры и других макроскопических параметров потока. При этом их изменение будет наблюдаться в течение всего времени облучения. Исследование особенностей течения смеси, содержащей газ из двухатомных дипольных молекул, в поле резонансного излучения и посвящена эта работа.

Рассмотрим движение невязкого нестационарного газа по каналу постоянного сечения. Пусть на некотором участке этого канала на газ действует непрерывное излучение с частотой  $\nu_1 = (E_{V''} + E_{j''} - E_{V'} - E_{j'})/h$ , где  $h$  — постоянная Планка, а  $E_{V''}$ ,  $E_{j''}$  и  $E_{V'}$ ,  $E_{j'}$  — энергия колебательного  $V$  и вращательного  $j$  верхнего и нижнего уровней поглощающего перехода  $[(V', j') \rightarrow (V'', j'')]$  соответственно.

Уравнения, описывающие изменения макроскопических параметров такой среды, имеют вид

$$(1) \quad \begin{aligned} \frac{d}{dx}(\rho u) &= 0, \quad \frac{d}{dx}(\rho u^2 + p) = 0, \quad p = \frac{\rho R T}{\mu}, \\ \frac{d}{dx} \left[ \frac{5}{2} \frac{R}{\mu} T + \frac{u^2}{2} \right] &= \frac{k_v I}{\rho u} - \sum_{i=1}^m \frac{de_V^i}{dx} - \sum_{i=1}^m \frac{de_r^i}{dx}, \end{aligned}$$

где  $\rho$ ,  $p$ ,  $T$ ,  $u$  — плотность, давление, поступательная температура и скорость газа;  $\mu$  — молекулярный вес смеси;  $k_v$  — спектральный показатель поглощения;  $I$  — интенсивность действующего излучения;  $R$  — универсальная газовая постоянная;  $e_V^i$  и  $e_r^i$  — колебательная и вращательная энергии единицы массы  $i$ -го компонента смеси.

Пусть время вынужденного радиационного перехода  $\tau_i \gg \tau_{R-T}$ ,  $\tau_{V-V}$ , где  $\tau_{R-T}$  и  $\tau_{V-V}$  — характерные времена вращательно-поступательной релаксации и внутримодового колебательно-колебательного обмена соответственно. Кинетику процессов в этом случае можно рассматривать, используя приближение гармонического осциллятора и модель локальных колебательных температур, а распределение молекул по вращательным уровням считать Больцмановским с поступательной температурой  $T$ .

Уравнения для изменения колебательной и вращательной энергии при этом представим в виде

$$(2) \quad \frac{de_V^i}{dx} = \left[ \gamma_i \frac{R}{\mu} \frac{h\nu_i}{K_B} f_i + l_i \frac{k_v I}{\rho v_I} v_i \right] \frac{1}{u}, \quad \frac{de_r^i}{dx} = \frac{R}{\mu u} \frac{dT}{dx} \gamma_i,$$

где  $\gamma_i$  — молярная доля  $i$ -го компонента в смеси;  $v_i$  — нормальная частота колебаний для  $i$ -го компонента (предполагается, что газ состоит только из двухатомных молекул);  $l_i$  — число колебательных квантов, приобретаемых модой при вынужденном радиационном переходе;  $K_B$  — постоянная Больцмана;  $m$  — число молекулярных компонентов в смеси;  $f_i$  — член, ответственный за  $V - T$ -релаксацию и междумолекулярный  $V - V'$ -обмен.

В этом случае уравнения системы (1), (2) можно привести к виду

$$(3) \quad \begin{aligned} \frac{dT}{dx} &= \frac{1 - \zeta M^2}{(1 - M^2) C_p} J, \quad \frac{du}{dx} = \frac{(\zeta - 1) M^2}{(1 - M^2) u} J, \\ \frac{dp}{dx} &= -\frac{\rho (\zeta - 1) M^2}{(1 - M^2)} J, \quad \frac{d\rho}{dx} = -\frac{\rho (\zeta - 1)}{a^2 (1 - M^2)} J, \\ J &= \frac{k_v I}{\mu u} \left( 1 - \frac{v_h}{v_I} l_h \right) = \frac{R h}{\mu K_B u} \sum_{i=1}^m v_i f_i \gamma_i, \\ M &= \frac{u}{a}, \quad a = \sqrt{\zeta \frac{R}{\mu} T}, \quad \zeta = 1 + \left( \frac{3}{2} + \sum_{i=1}^m \gamma_i \right)^{-1}, \\ C_p &= \left( \frac{5}{2} + \sum_{i=1}^m \gamma_i \right) \frac{R}{\mu}. \end{aligned}$$

Здесь  $i = 1 \dots k \dots m$ , а все  $l_i = 0$ , за исключением  $l_h$ .

Из представленных соотношений видно, что если  $J < 0$ , то при  $0 < M < 1/\sqrt{\zeta}$  газ будет охлаждаться и тормозиться, при  $1/\sqrt{\zeta} < M < 1$  — нагреваться и тормозиться, а при  $M > 1$  — охлаждаться и ускоряться. Если же  $J > 0$ , то, наоборот, при  $0 < M < 1/\sqrt{\zeta}$  газ будет нагреваться и ускоряться, при  $1/\sqrt{\zeta} < M < 1$  — охлаждаться и ускоряться, а при  $M > 1$  — нагреваться и тормозиться.

При  $J = 0$  газодинамические параметры в зоне поглощения меняться не будут. Для реализации первого случая необходимо, чтобы

$$(4) \quad \frac{v_h}{v_I} l_h > 1 - \frac{\rho R h}{\mu K_B k_v I} \sum_{i=1}^m v_i f_i \gamma_i,$$

а для реализации второго

$$(5) \quad \frac{v_h}{v_I} l_h < 1 - \frac{\rho R h}{\mu K_B k_v I} \sum_{i=1}^m v_i f_i \gamma_i.$$

Для наглядности анализа предположим сначала, что

$$(6) \quad \frac{\rho R h}{\mu K_B k_v I} \sum_{i=1}^m v_i f_i \gamma_i = 0.$$

Такая ситуация обычно реализуется, когда поглащающий переход далек от насыщения или скорости  $V - T$ - и  $V - V'$ -процессов малы ( $\tau_I \ll \tau_{V-T} \leq \tau_{V-V'}$ ,  $\tau_{V-T}$  и  $\tau_{V-V'}$  — характерные времена этих процессов). Из равенств (4), (5) видно, что возможность охлаждения (или нагрева) газа при действии резонансного излучения определяется соотношением между частотой излучения и произведением частоты нормальных колебаний на число колебательных квантов, приобретаемых модой при индуцированных переходах.

Напомним, что если молекула, имеющая неодинаковые ядра, находится в основном электронном состоянии (проекция орбитального момента на межядерную ось  $\Lambda = 0$ ), то в дипольном приближении разрешены только переходы  $P$ - и  $R$ -ветви. Если  $\Lambda \neq 0$  (например, в состояниях  $\Pi$ ,  $\Delta$ ,  $\Phi$ ...), то возможны также и переходы  $Q$ -ветвей [3]. Для вычисления  $v_I$  воспользуемся приближением колеблющегося ротора, вращательная энергия  $E_j$  для которого дается выражением [3]

$$(7) \quad \begin{aligned} E_j &= B_V j(j+1) - D_V j^2(j+1)^2, \\ B_V &= B_e - \alpha_e \left( V + \frac{1}{2} \right), \quad D_V = D_e + \beta_e \left( V + \frac{1}{2} \right), \end{aligned}$$

где  $B_e$  и  $D_e$  — вращательные постоянные, определенные при отсутствии колебаний ядер;  $\alpha_e$  и  $\beta_e$  — некоторые малые величины ( $\alpha_e > 0$ );  $j$  — вращательное, а  $V$  — колебательное квантовые числа. В первом приближении можно положить  $D_V \approx 0$ .

Рассмотрим последовательно поглощение в  $P$ -,  $Q$ - и  $R$ -ветви.

Для  $P$ -ветви ( $j'' = j' - 1 \equiv j - 1$ )

$$v_I = v_k l_k - [j(B_{V''} + B_{V'}) - j^2 \alpha_e l_k]/h.$$

Условие  $v_k l_k - v_I > 0$  ( $J < 0$ ) выполняется при любых  $j$ .

Для  $Q$ -ветви ( $j'' = j' \equiv j$ )

$$v_I = v_k l_k - [j^2 \alpha_e l_k - j \alpha_e l_k]/h$$

и  $J < 0$  также при любых  $j$ .

Для  $R$ -ветви ( $j'' = j' + 1 \equiv j + 1$ )

$$v_I = v_k l_k - [j^2 \alpha_e l_k + j(3B_{V''} - B_{V'}) + 2B_{V''}]/h.$$

Здесь  $J < 0$  только при  $j > j_0$ ,

$$(8) \quad j_0 = \frac{3B_{V''} - B_{V'} + \sqrt{(3B_{V''} - B_{V'})^2 + 8B_{V''}\alpha_e l_k}}{2\alpha_e l_k}.$$

Следует отметить, что для двухатомных дипольных молекул, например молекул галогеноводородов, граничное значение  $j_0$ , начиная с которого выполняется условие  $J < 0$ , достаточно велико (например, для хлористого водорода  $j_0 = 67$ ).

Поэтому (8) дает завышенные значения  $j_0$ , и при вычислении  $v_I$  необходимо использовать полную формулу (7). Величина  $j_0$  при этом будет меньше, чем вычисленная по формуле (8).

Заметим, что для переходов с  $l_k > 1$  охлаждение газа при поглощении излучения в  $R$ -ветви будет иметь место при меньших  $j_0$ , чем для переходов с  $l_k = 1$ .

Таким образом, при  $0 < M < 1/\sqrt{\kappa}$  и  $M > 1$ , если молекулы находятся в основном электронном состоянии, охлаждение газа возможно не только при поглощении излучения в  $P$ -ветви, как это ранее отмечалось в [1], но и при больших вращательных числах ( $j > j_0$ ) в  $R$ -ветви. Если же молекулы находятся в возбужденных электронных состояниях ( $\Pi$ ,  $\Delta$ ...), то при тех же значениях  $M$  охлаждение газа также будет иметь место и при поглощении в  $Q$ -ветви.

При  $1/\sqrt{\kappa} < M < 1$  газ будет охлаждаться независимо от того, находятся его молекулы в основном или возбужденном электронных состояниях, только при поглощении излучения в  $R$ -ветви с  $j < j_0$ .

Для количественной оценки эффекта уменьшения поступательной температуры проведем линеаризацию уравнений системы (3). Для изменения макроскопических параметров газа ( $T$ ,  $p$ ,  $\rho$ ,  $u$ ) при этом получаются следующие соотношения [4]:

$$(9) \quad \begin{aligned} \frac{T - T_0}{T_0} &= \frac{1 - \kappa M_0^2}{C_p T_0 (1 - M_0^2)} J', \quad \frac{u - u_0}{u_0} = \frac{\kappa - 1}{a_0^2 (1 - M_0^2)} J', \\ \frac{p - p_0}{p_0} &= \frac{\kappa (\kappa - 1)}{a_0^2 (1 - M_0^2)} J', \quad \frac{\rho - \rho_0}{\rho_0} = - \frac{(\kappa - 1)}{(1 - M_0^2) a_0^2} J', \\ J' &= \frac{v_I - v_k l_k}{v_k l_k} \int_0^\infty \sum_{i=1}^m d e_V^i, \end{aligned}$$

где  $T_0$ ,  $p_0$ ,  $u_0$ ,  $\rho_0$  — параметры невозмущенного потока. Далее будем обозначать  $\Delta T = T - T_0$  и  $\delta T = (T - T_0)/T_0$ .

Пусть при  $x = L_I$  ( $L_I = u t_I$ ) (параметры в этом сечении будем обозначать индексом  $I$ ) переход  $(V', j') \rightarrow (V'', j'')$  полностью насыщает-

ся, т. е.  $k_V(L_I) = 0$ . Колебательная энергия поглощающего компонента в этом сечении определяется соотношением

$$e_V^h(L_I) = \frac{R}{\mu} \gamma_k \frac{\hbar v_h}{K_B} \left\{ \frac{B_{V''}}{B_{V'}} \exp \left[ \frac{E_{j''} - E_{j'}}{K_B T_I} \right] - 1 \right\}^{-1}.$$

Учитывая, что при  $x = 0$

$$e_V^h(x = 0) = \frac{R}{\mu} \gamma_k \frac{\hbar v_h}{K_B} \left[ \exp \left( \frac{\hbar v_h}{K_B T_0} \right) - 1 \right]^{-1},$$

для оценки  $J'$  сверху можно получить

$$(10) \quad J' = \frac{E_{j''} - E_{j'}}{l_k K_B} \frac{R}{\mu} \gamma_k \left\{ \left[ \frac{B_{V''}}{B_{V'}} \exp \left( \frac{E_{j'} - E_{j''}}{K_B T_I} \right) - 1 \right]^{-1} - \left[ \exp \left( \frac{\hbar v_h}{K_B T_0} \right) - 1 \right]^{-1} \right\};$$

$$(11) \quad T_I = T_0 + \frac{1 - \alpha M_0^2}{C_p(1 - M_0^2)} J'.$$

Из (10) видно, что значения  $\Delta T_I$ ,  $\Delta p_I$ ,  $\Delta \rho_I$  и  $\Delta u_I$  уменьшаются с увеличением  $|E_{j'} - E_{j''}|$  (т. е. с увеличением  $j$ ) и с увеличением  $l_k$ .

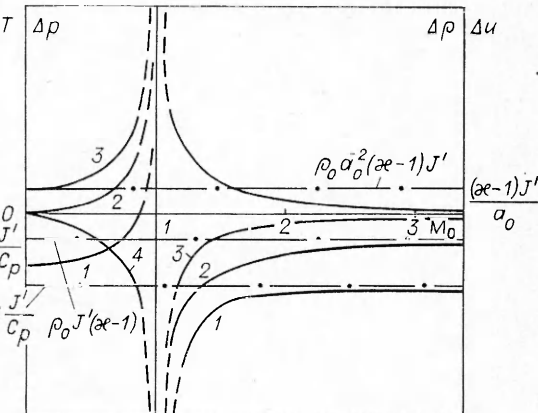
Соотношения (9), (10) позволяют оценить максимальное для данного  $M_0$  изменение параметров газа в зоне поглощения резонансного излучения. Из указанных соотношений также видно, что в движущемся газе изменение  $T$ ,  $p$ ,  $\rho$  может

быть больше, чем в неподвижном, т. е. имеет место газодинамическое усиление эффекта кинетического воздействия. На фиг. 1 представлено изменение параметров газа в режиме кинетического охлаждения ( $J < 0$ ) в зависимости от  $M$  невозмущенного потока (здесь 1 —  $\Delta T$ , 2 —  $\Delta p$ , 3 —  $\Delta \rho$ , 4 —  $\Delta u$ ). При  $J > 0$  изменение  $T$ ,  $p$ ,  $\rho$  и  $u$  в зависимости от  $M_0$  имеет вид, аналогичный зависимостям на фиг. 1, и получается зеркальным отражением соответствующих кривых относительно оси абсцисс. Штриховыми линиями на фиг. 1 показаны ветви кривых, где линейное приближение (8) может давать значительную погрешность. Подобные зависимости были получены в [5] при анализе течения многоатомных молекул в поле излучения, частота которого равна частоте междуимодового перехода, при ином механизме кинетического охлаждения.

Если  $|E_{j'} - E_{j''}| \ll K_B T_I$ , то из (10), (11) для  $M_0 = 0$  при  $E_{j'} - E_{j''} > 0$  можно получить

$$(12) \quad T_I = \frac{T_0 + \frac{E_{j'} - E_{j''}}{l_k K_B C_p} \frac{R}{\mu} \gamma_k \left[ \exp \left( \frac{\hbar v_h}{K_B T_0} \right) - 1 \right]^{-1}}{1 + \frac{R}{\mu} \frac{\gamma_k}{C_p l_k}}.$$

Для газа, содержащего только молекулярные компоненты ( $\sum_i \gamma_i = 1$ ), получается простая формула, определяющая максимальное изменение



Фиг. 1

температуры в зоне поглощения излучения:

$$(13) \quad \frac{J'}{C_p} = T_i - T_0 = \frac{(E_{j'} - E_{j''}) \left[ \exp \left( \frac{h\nu_h}{K_B T_0} \right) - 1 \right]^{-1} - T_0}{\frac{7}{2} \frac{l_h}{\gamma_h} + 1}.$$

Из (13) следует, что при  $h\nu_h/T_0 < K_B$  и  $E_{j'} - E_{j''} \ll T_0$   $J'/C_p = -T_0 / \left( \frac{7}{2} \frac{l_h}{\gamma_h} + 1 \right)$ , т. е. не зависит от сорта молекул поглощающего газа. Это подтверждается и численными расчетами полной системы уравнений газовой динамики и кинетических уравнений при условии  $f_i = 0$ , проведенными для молекул галогеноводородов.

Укажем еще раз, что полученные выражения (10), (13) являются оценкой для  $J'$  (или  $\Delta T$ ) сверху. В действительности величина  $J'$ , а следовательно, и  $\Delta T$  будут существенно меньше вследствие как процессов  $R - T$ , так и  $V - T$ - и  $V - V'$ -обмена.

Для анализа влияния на изменение макроскопических параметров потока в зоне поглощения  $V - T$ -релаксации и межмолекулярного  $V - V'$ -обмена рассмотрим теперь случай, когда

$$\frac{\rho R h}{\mu K_B k_v I} \sum_{i=1}^m v_i f_i \gamma_i \neq 0, \quad E_{j''} < E_{j'}.$$

Пусть газ состоит из двух компонентов с типами колебаний  $k$  и  $s$  с неодинаковыми временами релаксации, не связанными резонансом, а излучение поглощается  $k$ -м компонентом. Выражение для  $J'$  в этом случае можно представить в виде

$$(14) \quad J' = \int_0^\infty \left\{ \frac{k_v I}{\rho u} \frac{E_{j''} - E_{j'}}{h\nu_I} - \frac{pR}{\mu K_B T u} \Theta_k \gamma_h W_{hs} \gamma_s \left[ L_{hs} \left( \frac{l_h}{g_h} - \frac{\Theta_s}{\Theta_h} \frac{l_s}{g_s} \right) - \right. \right. \\ \left. \left. - (\varepsilon_h - \varepsilon_{k0}) \frac{\sum_{i=1}^m W_{ho}^i \gamma_i}{W_{hs} \gamma_s} - (\varepsilon_s - \varepsilon_{s0}) \frac{\Theta_s}{\Theta_h} \frac{\gamma_s}{\gamma_h} \frac{\sum_{i=1}^m W_{so}^i \gamma_i}{W_{hs} \gamma_s} \right] \right\} dx, \\ L_{hs} = \left[ \varepsilon_h^{l_h} (\varepsilon_s + 1)^{l_s} \exp \left( \frac{\Theta_h - \Theta_s}{I} \right) - (\varepsilon_h + 1)^{l_h} \varepsilon_s^{l_s} \right], \\ \Theta_i = \frac{h\nu_i}{K_B}, \quad \varepsilon_i = \left[ \exp \left( \frac{\Theta_i}{T_i} \right) - 1 \right], \quad \varepsilon_{i0} = \varepsilon_i(T),$$

где  $W_{hs}$  — константа скорости межмолекулярного  $V - V'$ -обмена между компонентами  $k$  и  $s$ ;  $W_{ho}^i$  — константа скорости  $V - T$ -релаксации при столкновении с  $i$ -м партнером ( $j = k, s$ );  $T_i$  — колебательная температура  $i$ -й моды;  $l_h$  и  $l_s$  — количество колебательных квантов, приобретаемых (или теряемых) соответственно компонентами  $k$  и  $s$  при  $V - V'$ -обмене, а  $g_h$  и  $g_s$  — кратности вырождения их колебаний.

Будем полагать, что  $\sum_i W_{ho}^i \gamma_i \gg W_{hs} \gamma_s$ , т. е.  $V - T$ -релаксация в поглощающем компоненте происходит быстрее, чем  $V - V'$ -обмен. В этом случае на интервале  $[0, L_{V-T}]$ , где  $L_{V-T} = u\tau_{V-T}$ ,

$$(15) \quad J' = \int_0^\infty \left\{ \frac{k_v I}{\rho u} \frac{|E_{j''} - E_{j'}|}{h\nu_I} + \frac{pR}{\mu K_B T u} \gamma_h \Theta_h \sum_i W_{ho}^i \gamma_i (\varepsilon_h - \varepsilon_{k0}) \right\} dx.$$

Если  $\tau_I \sim \tau_{V-T}$ , то может возникнуть ситуация, когда еще до насыщения поглощающего перехода будет выполняться равенство

$$\frac{k_v I}{\rho u} \frac{|E_{j''} - E_{j'}|}{h\nu_I} = \frac{R p}{\mu K_B T u} \gamma_h \Theta_h \sum_i W_{ho}^i \gamma_i (\varepsilon_h - \varepsilon_{k0})$$

и изменения макроскопических параметров потока в зоне поглощения происходить не будет. Значения  $\delta T$ ,  $\delta p$ ,  $\delta u$ ,  $\delta \rho$  при этом будут, очевидно, меньше, чем при  $f_i = 0$ . Существенной особенностью действия  $V - T$ -процессов в движущемся поглощающем газе по сравнению с неподвижными является то, что выделение энергии из колебательных степеней свободы в поступательные происходит при другом значении числа Маха, чем то, при котором резонансное поглощение приводило к появлению потока энергии из поступательных степеней свободы в колебательные. Эта особенность может привести к меньшему увеличению температуры газа в результате  $V - T$ -релаксации по сравнению с неподвижным.

Для наглядности рассмотрим случай, когда  $\tau_I < \tau_{V-T}$ . При  $x = L_I$  параметры в зоне поглощения определяются формулами (9), (10).

Здесь  $M_I = u_I \left( \chi \frac{R}{\mu} T_I \right)^{-1/2} \equiv M_0$ . При  $x = L_{V-T}$  верхняя оценка для  $J'$  и температуры  $T_t$  дает

$$(16) \quad J' = \frac{\Theta_k R}{\mu} \gamma_k \left[ \left[ \frac{B_{V''}}{B_{V'}} \exp \left( \frac{E_{j''} - E_{j'}}{K_B T_I} \right) - 1 \right]^{-1} - \left[ \exp \left( \frac{\Theta_k}{T_t} \right) - 1 \right]^{-1} \right];$$

$$(17) \quad T_t = T_I + \frac{1 - \chi M_I^2}{1 - M_0^2} \frac{J'}{C_v}.$$

Тогда из (17), (11) будем иметь

$$(18) \quad \frac{T_I - T_0}{T_t - T_I} \approx \frac{1 - \chi M_0^2}{1 - \chi M_I^2} \frac{1 - M_I^2}{1 - M_0^2} \frac{E_{j''} - E_{j'}}{l_k h \nu_k}.$$

В неподвижном газе ( $M \rightarrow 0$ )

$$(19) \quad \frac{T_I - T_0}{T_t - T_I} = \frac{E_{j''} - E_{j'}}{l_k h \nu_k}.$$

Из сравнения (18), (19) следует, что, поскольку  $M_I > M_0$ , при  $M_0 > 1$  и  $M_I > 1$  величина  $\left| \frac{T_0 - T_I}{T_t - T_I} \right|$  в движущемся газе больше, чем в неподвижном. Это условие выполняется, если  $T_t < T_t^n$  ( $T_t^n$  — значение  $T_t$  в неподвижном газе). Интересная ситуация возникает, если  $1/\sqrt{\chi} < M_I < 1$ . В этом случае  $V - T$ -релаксация приведет даже к охлаждению газа.

Предположим теперь, что межмолекулярный  $V - V'$ -обмен происходит быстрее, чем  $V - T$ -релаксация, т. е.  $\sum_i W_{hs}^i \gamma_i \ll W_{hs} \gamma_s$ ,  $\sum_i W_{so}^i \gamma_i \ll W_{so} \gamma_s$ .

Тогда на интервале  $[0, L_{V-V'}]$ , где  $L_{V-V'} = u \tau_{V-V'}$ ,

$$(20) \quad J' = \int_0^x \left\{ \frac{k_v I}{\rho u} \frac{|E_{j''} - E_{j'}|}{h \nu_i} - \frac{p R}{\mu K_B T u} \gamma_k \Theta_k W_{hs} \gamma_s L_{hs} \left( \frac{l_h}{g_h} - \frac{l_s}{g_s} \frac{\Theta_s}{\Theta_k} \right) \right\} dx.$$

Пусть  $\Theta_s l_s / g_s > \Theta_k l_k / g_k$ . Если при этом  $T_s < T_k$ , то величина  $|J'|$  будет больше, чем при  $f_i = 0$ , и изменение макроскопических параметров потока в зоне поглощения может быть более сильным. Если же  $T_s > T_k$ , то  $|J'|$  будет меньше, чем при  $f_i = 0$ , а при

$$(21) \quad \frac{k_v I}{\rho u} \frac{|E_{j''} - E_{j'}|}{h \nu_i} < \frac{p R}{\mu K_B T u} \Theta_k \gamma_k W_{hs} \gamma_s L_{hs} \left( \frac{l_h}{g_h} - \frac{l_s}{g_s} \frac{\Theta_s}{\Theta_k} \right)$$

знак воздействия  $(J')$  вообще изменится на противоположный. При  $\Theta_k l_k / g_k > \Theta_s l_s / g_s$ , наоборот, увеличение  $|J'|$  будет иметь место при  $T_s > T_k$ . Если же  $T_k > T_s$ , то величина  $|J'|$  будет уменьшаться, а при выполнении (21) знак  $J'$  вообще изменится. Изменение величины потока

энергии из поступательных в колебательные степени свободы при введении в резонансно поглощающий газ примесных молекул (*s*) объясняется тем, что при  $V - V'$ -обмене часть передаваемой из одного типа колебаний в другой энергии, равная  $(\Theta_s - \Theta_h)K_B$ , отбирается из поступательных степеней свободы (или выделяется в поступательные степени свободы). Следует отметить, что впервые возможность охлаждения газа из двухатомных молекул при  $V - V'$ -обмене обсуждалась в [6].

Для оценки эффекта изменения макроскопических параметров потока вследствие  $V - V'$ -обмена между молекулами соответствующих компонентов смеси предположим, что  $\tau_I < \tau_{V-V'}$  и насыщение поглощающего перехода происходит быстрее, чем начинается  $V - V'$ -обмен. Пусть также в сечении  $x_V = L_{V-V'} (x_V > L_I)$  между колебаниями *k* и *s* достигается квазиравновесие. Для верхней оценки  $J'$  в этом случае можно получить

$$(22) \quad J' = \gamma_h (\Theta_s - \Theta_h) \frac{R}{\mu} \left[ \left[ \frac{B_{V''}}{B_{V'}} \exp \left( \frac{E_{j'} - E_{j''}}{K_B T_I} \right) - 1 \right]^{-1} - \left[ \exp \left( \frac{\Theta_h}{T_h} \right) - 1 \right]^{-1} \right].$$

Величина  $T_h$  при этом определяется из уравнения

$$(23) \quad \frac{B_{V''}}{B_{V'}} \exp \left( \frac{E_{j'} - E_{j''}}{K_B T_I} \right) - 1 \left[ \exp \left( \frac{\Theta_s}{T_i} \right) - 1 \right]^{-1} \gamma_h + \left[ \exp \left( \frac{\Theta_s}{T_i} \right) - 1 \right]^{-1} \gamma_s = \\ = \left[ \exp \left( \frac{\Theta_h}{T_h} \right) - 1 \right]^{-1} \gamma_h + \left[ \exp \left( \frac{\Theta_h}{T_h} \right) \exp \left( \frac{\Theta_s - \Theta_h}{T} \right) - 1 \right]^{-1} \gamma_s;$$

$$(24) \quad T = T_I + \frac{1 - \kappa M_I^2}{(1 - M_I^2) C_p} J'.$$

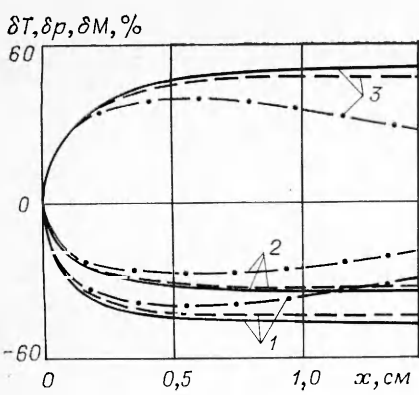
Соотношения (22)–(24) позволяют оценить максимальное для данного  $M_I$  изменение температуры газа в результате  $V - V'$ -обмена. В соответствии с формулами (8) будут меняться и другие параметры ( $p$ ,  $\rho$ ,  $u$ ).

Проиллюстрируем полученные результаты на примере течения конкретных газов из двухатомных молекул — хлористого водорода (HCl) и смеси HCl — H<sub>2</sub>. Частота воздействующего на поток излучения резонансна частоте центра линии колебательно-вращательного перехода (0, *j'*) → (*V*, *j''*), где *V* = 1; 2. Для решения задачи использовались численные методы. При этом интегрирование полной системы уравнений газовой динамики и колебательной кинетики проводилось так же, как и в [4, 5]. Схема релаксационных процессов и соответствующие ей кинетические уравнения были взяты такими же, как и в [7].

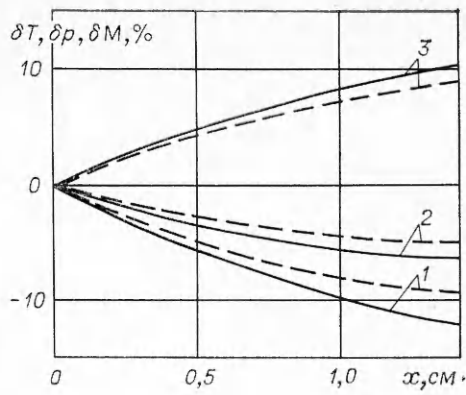
Показатель поглощения на исследуемых переходах молекул HCl вычислялся по стандартным соотношениям [2] в предположении совместного действия допплеровского и столкновительного механизмов уширения спектральной линии. Коэффициенты Эйнштейна и сечения ударного уширения выбирались так же, как в [7]. При определении относительных заселенностей верхнего и нижнего уровней поглощающего перехода значения  $E_{j''}$  и  $E_{j'}$  рассчитывались по формуле (7).

На фиг. 2 представлены результаты расчета изменения макроскопических параметров потока в зоне воздействия излучения с  $I_0 = 0,4 \text{ МВт/м}^2$  при течении хлористого водорода с начальными параметрами:  $T_0 = 1000 \text{ К}$ ,  $M_0 = 1, 2$ .

Частота воздействующего излучения резонансна частоте центра линии колебательно-вращательного перехода (0,11) → (1,10). Здесь цифрами 1–3 обозначено относительное изменение давления ( $\delta p$ ), температуры ( $\delta T$ ) и числа Маха ( $\delta M$ ). Сплошными линиями показано изменение макроскопических параметров в потоке с  $p_0 = 10^{-4} \text{ МПа}$  при отсутствии  $V - T$ -процессов, штриховыми линиями — изменение  $p$ ,  $T$ ,  $M$ , когда эти процессы действуют, а штрихпунктирной — в среде с повышенной скоп-



Фиг. 2



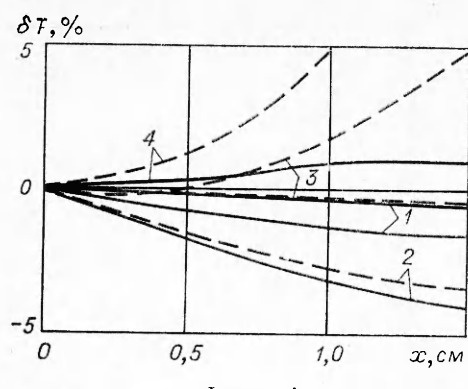
Фиг. 3

ростью  $V - T$ -релаксации ( $p_0 = 5 \cdot 10^{-4}$  МПа). Видно, что увеличение скорости  $V - T$ -процессов (ее увеличение моделировалось увеличением давления газа) приводит к уменьшению как глубины кинетического охлаждения ( $\delta T$ ), так и изменения других макроскопических параметров ( $\delta p$ ,  $\delta M$ ).

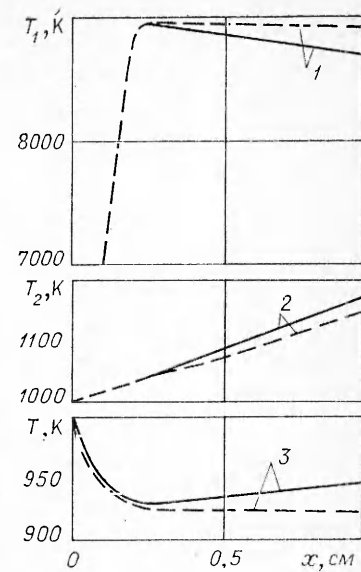
При поглощении излучения на обертонах  $P$ -ветви  $(0, j) \rightarrow (2, j - 1)$  изменение макроскопических параметров потока более слабое, чем при поглощении на основном переходе. Это хорошо видно из сравнения фиг. 2 и 3 (на фиг. 3 показано изменение макроскопических параметров при поглощении излучения с  $I_0 = 0,4$  МВт/м<sup>2</sup> на переходе  $(0,11) \rightarrow (2,10)$  при  $T_0 = 1000$  К,  $p_0 = 10^{-4}$  МПа,  $M_0 = 1,2$ , обозначения здесь те же, что и на фиг. 2). Однако и в этом случае величина изменения  $p$ ,  $T$  и  $M$  значительна и может достигать 5—15%.

Возможность охлаждения молекулярного газа при поглощении излучения в  $R$ -ветви иллюстрирует фиг. 4. Здесь представлено относительное изменение поступательной температуры газа ( $\delta T$ ) при воздействии излучения с  $I_0 = 10$  МВт/м<sup>2</sup>, частота которого резонансна частоте переходов  $(0, j) \rightarrow (2, j + 1)$  с  $j = 39; 34; 32; 29$  (кривые 1—4 соответственно). Невозмущенные параметры среды здесь такие же, что и в предыдущем случае. Как и прежде, сплошными линиями показано изменение  $\delta T$  при отсутствии  $V - T$ -процессов, а штриховыми — когда эти процессы действуют. Ясно видно существование граничного  $j_0$ , начиная с которого ( $j > j_0$ ) наблюдается охлаждение газа. Сильное влияние  $V - T$ -процессов при малых  $j$  и слабое при больших  $j$  ( $j = 39$ ) объясняется существенно большими значениями показателя поглощения для переходов с  $j = 29$ , а следовательно, и большим количеством энергии, выделяющейся в поступательные степени свободы. Отметим, что численные расчеты показали также возможность охлаждения сверхзвукового потока газа и при поглощении излучения в  $R$ -ветви основного перехода. Однако величина  $j_0$  здесь существенно больше, и для получения значительных  $\delta T$  необходимы большие значения интенсивности ( $I_0 > 10^2$  МВт/м<sup>2</sup>) воздействующего излучения.

Как указывалось выше, в бинарной смеси газов возможность уменьшения поступательной температуры потока может быть обусловлена также и процессом нерезонансного  $V - V'$ -обмена. Для иллюстрации такого механизма охлаждения рассматривалось течение смеси газов HCl и H<sub>2</sub> ( $\gamma_{\text{HCl}} = 0,2$ ,  $\gamma_{\text{H}_2} = 0,8$ ) при воздействии резонансного излучения с  $I_0 = 10$  МВт/м<sup>2</sup>, частота которого равна частоте колебательно-вращательного перехода  $(0,11) \rightarrow (1,10)$  в молекуле HCl. Невозмущенные параметры среды полагались равными  $p_0 = 10^{-3}$  МПа,  $T_0 = 1000$  К,  $M_0 = 1,2$ , а зона воздействия излучения  $L = 2 \cdot 10^{-3}$  м. На фиг. 5 показано изменение колебательных  $T_i$  ( $i = 1$  — HCl,  $i = 2$  — H<sub>2</sub>, соответственно кривые 1, 2) и поступательной температур  $T$  (кривая 3) по продольной координате  $x$ , когда нет обмена энергией между поступательными и колебательными



Ф и г. 4



Ф и г. 5

степенями свободы (штриховые линии) и когда  $V - T$ -обмен существует. Из представленных распределений видно, что дополнительное охлаждение потока при  $I_0 = 0$  вызвано процессом межмолекулярного  $V - V'$ -обмена энергией между возбужденными молекулами HCl и невозбужденными молекулами H<sub>2</sub> ( $T_1$  уменьшается, а  $T_2$  растет). Колебательно-поступательная релаксация приводит при этом к сокращению зоны существования области с пониженной температурой и к уменьшению величины  $\delta T$ .

В заключение отметим, что изменение макроскопических параметров потока вследствие рассмотренных механизмов при поглощении газом резонансного излучения может оказаться определяющим при исследовании нестационарной самофокусировки лазерных пучков.

#### ЛИТЕРАТУРА

- Гордиец Б. Ф., Панченко В. Я. Охлаждение молекулярных газов стимулированным лазерным излучением. — Письма в ЖТФ, 1978, т. 4, вып. 23.
- Гордиец Б. Ф., Осинов А. И., Шелепин Л. А. Кинетические процессы в газах и молекулярные лазеры. М.: Наука, 1980.
- Герцберг Г. Спектры и строение двухатомных молекул. М.: ИЛ, 1949.
- Старик А. М. К вопросу об определении времен релаксации при кинетическом охлаждении движущегося газа. — ПМТФ, 1982, № 2.
- Старик А. М. О кинетическом охлаждении движущегося газа. — Изв. АН СССР. МЖГ, 1982, № 3.
- Файзулаев В. Н. Тепловые эффекты нерезонансного колебательного обмена. — ПМТФ, 1975, № 2.
- Кирмусов И. П., Левин В. А., Старик А. М. Теоретическое исследование характеристики газодинамического лазера на смеси H<sub>2</sub>—PCl. — Квант. электроника, 1981, т. 8, № 5.

Поступила 11/VII 1983 г.

УДК 533.6.011.8

#### ПРИБЛИЖЕННОЕ АНАЛИТИЧЕСКОЕ ОПИСАНИЕ КОЛЕБАТЕЛЬНОЙ РЕЛАКСАЦИИ СЛАБОАНГАРМОНИЧЕСКИХ ОСЦИЛЛЯТОРОВ

А. П. Васильев, Г. В. Дубровский, В. М. Стрельчена  
(Ленинград)

Задача построения аналитических решений релаксационных уравнений в смеси слабоангмонических осцилляторов (САО) вызывает в настоящее время большой интерес в связи с необходимостью качественного и количественного анализа роли ангмонических эффектов в теории лазеров [1], химической кинетике [2], при расчетах кинетических коэффициентов в случае замедленной релаксации [3], в теории поглощения и дисперсии звука и т. д.